

高知大学農学部 正員 中崎 昭人  
 同上 〇玉井 佐一  
 チェリーコンサルタント 木打 好晃

1 まえがき

海岸構造物には海岸線に於ける傾斜面上の波の挙動は種々の海岸工学的現象と関連して重要な問題である。従来斜面上に於ける波の迎上と変形、波圧、消波ブロックの安定さから法先流槽並び種々の立場から斜面上の波の挙動に対する説明がなされてきているが現象の複雑さからまだ多くの問題を残している。この研究は斜面こう配の相異による波の挙動と波圧変動とに壁面に沿うせん断力の変化並びについて基礎的の実験を行ったものである。

2 実験設備および方法

実験は長さ20m、幅0.8m、深さ0.6mの2次元波槽水槽を用いて行った。波はフラップ型造波機により起し、この他端16.30mの位置に可傾式斜面を設置し、その中央部に波圧計およびShear plateを取りつけるようにした。斜面板より沖の水深こう配はつけず水深は26.5~37cmとした。なおせん断力に肉する実験の場合には測定壁に厚さ2mmの合成樹脂板と鉛板とを滑面壁を用いた。せん断力の測定にはモーメント計を使用し、波の影響をうけないようパイプでカバーしたアームの先端にShear plate(長さ5cm、幅8cm、厚さ0.12cmの合成樹脂板)を傾斜壁面にPlate上面が一致するようにとりつけた。実験波は周期 $T=1.0\sim 1.7$ sec、沖波波高 $H_0=4.5\sim 11.0$ cmとし、斜面の傾斜角 $\theta=90^\circ, 80^\circ, 70^\circ, 60^\circ, 50^\circ, 45^\circ, 38^\circ\sim 40^\circ$ ( $\cot\theta=1.35$ )、 $33^\circ\sim 40^\circ$ ( $\cot\theta=1.5$ )、 $26^\circ\sim 34^\circ$ ( $\cot\theta=2.0$ )および $18^\circ\sim 26^\circ$ ( $\cot\theta=3.0$ )と変化させた。しかしせん断力の測定は $\theta < 45^\circ$ の場合について行った。斜面上の波の挙動は8mmカメラを用いて撮影した。なお入射波高は造波機から7.25mの位置と斜面法線部で測定した。

3 実験結果の考察

り波圧について 壁面の最大同時波圧の分布を示すと図-1のようである。最大波圧 $P_{max}$ の生ずる位置は重複波領域では静水面で、碎波領域では静水面下(wave troughのやや上方)で起る。建設省上研で行った斜面こう配 $\cot\theta=0.5\sim 2.0$ を対象とした実験結果によると静水面下では $P_{max}$ は生じていない。一方ランダに於ける研究によれば静水面下で $P_{max}$ が生じており、筆者らの研究と同じ傾向を示す。上研の実験では海床こう配が $1/10$ であり、これが影響したものであろう。傾斜が急な場合( $\theta \geq 45^\circ$ )は壁に波の山が来たとき正圧、谷が来たとき負圧が生じる。傾斜が緩くなる( $\theta < 45^\circ$ )引波によって斜面上に正圧と負圧が同時に働くようになる。このことは斜面堤防を設計、施工する場合、瑞圧力と吸力と作用の原因ともなるので注意を払う必要がある。なお直壁( $\theta=90^\circ$ )の場合の波圧分布は洪田による2次元近似解による計算値と比較的よく合う。次に斜面の傾斜角 $\theta$ と $P_{max}/\rho g H$ との関係を図-2の

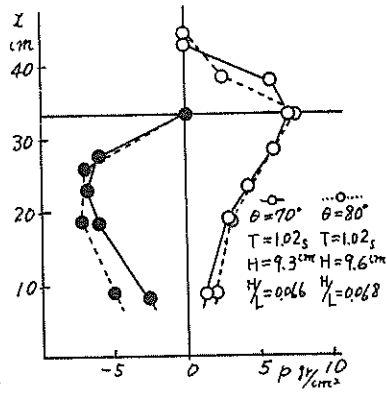


図-1(a)

ようである。斜面上で碎波のない重複波領域において  $P_{max}/w_0H$  の値は  $90^\circ \leq \theta \leq 33^\circ \sim 40^\circ$  については直線的に増加し  $\theta = 45^\circ \sim 33^\circ \sim 40^\circ$  において最大になる。また  $\theta = 26^\circ \sim 34^\circ \sim 33^\circ \sim 40^\circ$  において  $H/L_0 > 0.046$  においては碎波と起し、 $P_{max}/w_0H$  の値は急激に増大し  $P_{max}/w_0H = 2.5 \sim 4.0$  となる。オランダにおいては斜面こう配  $\theta = 26^\circ \sim 34^\circ$  ( $\cot \theta = 2.0$ ) の構造物を設計する場合の指針として  $P_{max}/w_0H = 3.0$  とおとている。また土研の実験によると  $P_{max}/w_0H = 1.0$  となつていて小さい。  
 $\theta < 26^\circ \sim 34^\circ$  ( $\cot \theta = 2.0$ ) には  $P_{max}/w_0H$  の値は減りの傾向にある。特に碎波による衝撃圧は斜面上の波形が巻波型から縮小波型に移行するようになり、波圧は小さくなる。引波時の戻り圧については wave trough の位置で最大となり、 $-P_{max}/w_0H$  は  $\theta$  に関係なく、 $-P_{max}/w_0H = 0.8 \sim 1.0$  である。

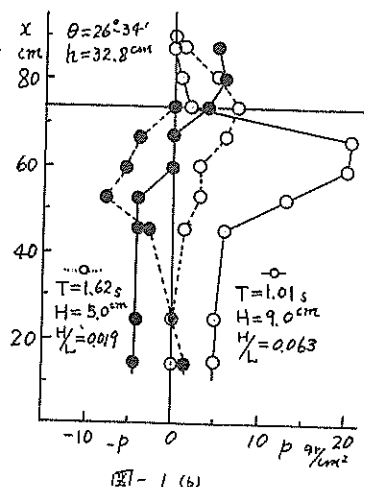


図-1 (b)

2) 斜面上の波の挙動 斜面上に伝う波の時間曲線から碎波および重複波について考察し、 $\theta$  と  $H/L_0$  との関係を示したものが図-3である。印は完全碎波、○印は完全重複波であり、これより右の領域で示されるように区別される。この二直線の間は部分的碎波、部分的重複波と考えられるいわゆる中間領域である。图中×印は Meche による碎波および重複波の限界条件式  $H/L_0 = (\frac{2g}{T^2} \frac{H^3}{w_0})^{1/3}$  によって求めた値である。さて斜面上のはい上りはい下りについて見るとはい上りの場合は斜面上の水粒子はかなり乱れた状態に遡上する。一方はい下りは一様流のような状態で加速度的に流下する。はい上り、はい下り(湧き流)の速度の時間的変化を見ると図-4のようである。

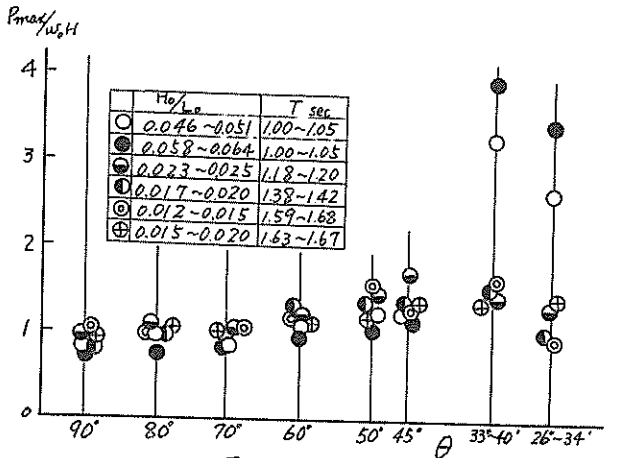


図-2

3) 斜面上のせん断力について 縦軸に斜面に沿う長さ (X cm) をとってせん断力分布を示すと図-5のようである。图中○印はい上りによって生じたせん断力 ( $\tau_u$ )、●印はい下りによるせん断力 ( $\tau_d$ ) を示す。

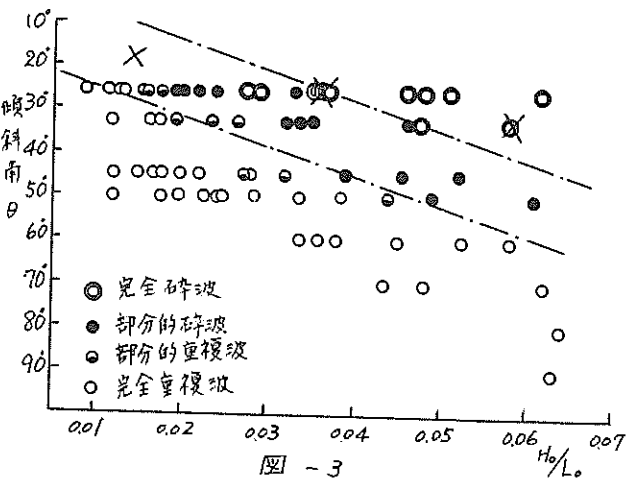


図-3

せん断力( $\tau_a$ )を表わしている。図に見られるようにともに静水面付近で最大のせん断力が生じ、上、下方に行くにしたがって減少している。波の流下速度 $V_a$ は静水面付近で最大となり、 $\tau_a$ の変化とよい対応を示す。最大流下速度 $V_{a\max}$ とほい下りによつて生じた最大せん断力 $\tau_{a\max}$ とほい上りの場合の最大せん断力 $\tau_{u\max}$ の関係を示すと同図-6のようであり、

$V_{a\max}$ と $\tau_{u\max}$ とは比例関係が見られる

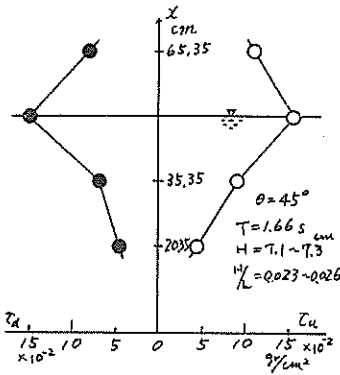


図-5(a)

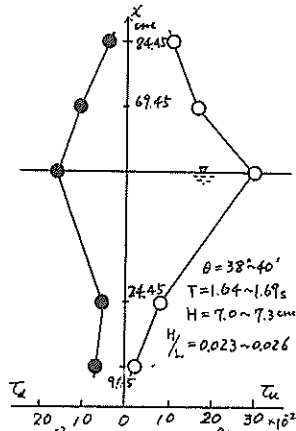


図-5(b)

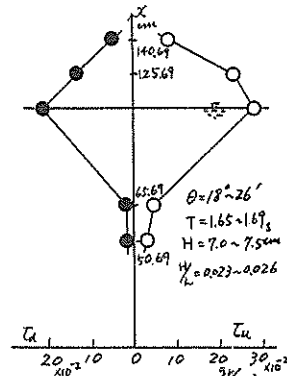


図-5(c)

るが、ほい上りの場合の $V_{a\max}$ と $\tau_{u\max}$ とは明確な比例関係は見出せない。これは前述のように逆上波はほい下りのような一様流の状態ではなく逆上速度がせん断力に影響しないことがわかる。

沖波波形二つ配 $H_0/L_0$ とせん断力 $\tau_{u\max}/w_0H$ との関係を示すと同図-7のようである。今この図と上記図-3による碎波領域、中間領域および重複波領域と対照すると、 $\theta = 33^\circ \sim 40^\circ$  ( $\cot \theta = 1.25$ ) のときは $H_0/L_0 > 0.035$ の中間領域では $H_0/L_0$ の増加に伴い $\tau_{u\max}/w_0H$ は増大し、 $H_0/L_0 < 0.035$ の重複波領域では減少している。また、 $\theta = 26^\circ \sim 34^\circ$  ( $\cot \theta = 2.0$ ) においても $0.019 < H_0/L_0 < 0.031$ の中間領域では $H_0/L_0$ の増加に伴い $\tau_{u\max}/w_0H$ の値は増大し、 $H_0/L_0 > 0.031$ の碎波領域では減少の傾向にある。さらに $\theta = 18^\circ \sim 26^\circ$  ( $\cot \theta = 3.0$ ) においても $H_0/L_0 > 0.020$ の碎波領域では $H_0/L_0$ が大きくなるにつれて $\tau_{u\max}/w_0H$ の

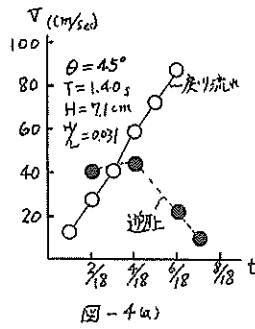


図-4(a)

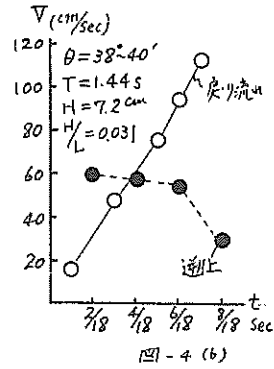


図-4(b)

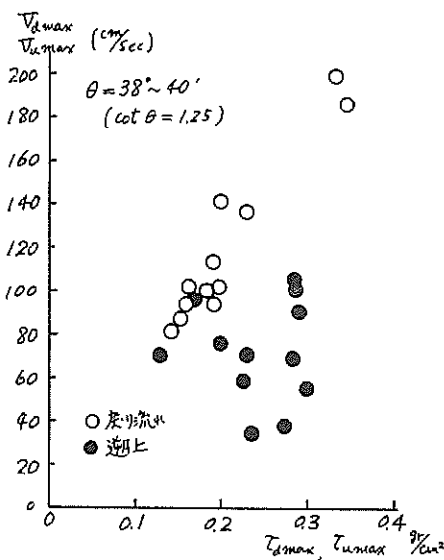


図-6

値は減少している。他のこう配( $\theta = 45^\circ, 33^\circ \sim 40^\circ$ )についても同様の傾向が見られ、斜面上の波の挙動とよい対応を示している。以上をまとめるに碎波領域では波形こう配の大きくなるにつれ、 $T_{u\max}/w_{0H}$ の値は減少し、中間領域では増大、重複波領域では減少する。

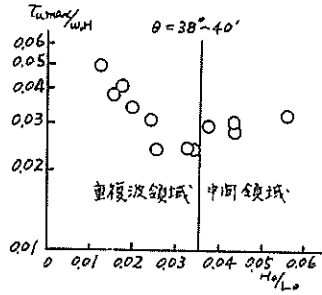


図-7(a)

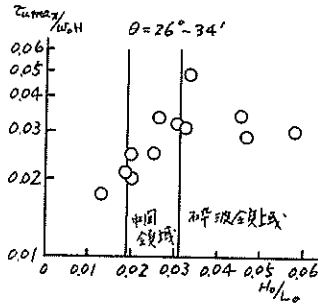


図-7(b)

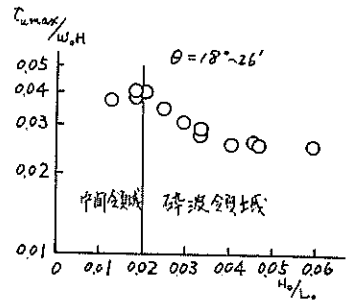


図-7(c)

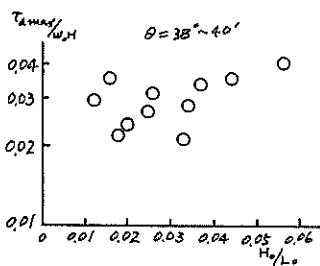


図-8(a)

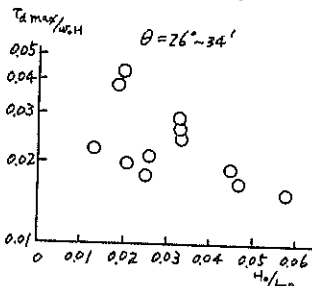


図-8(b)

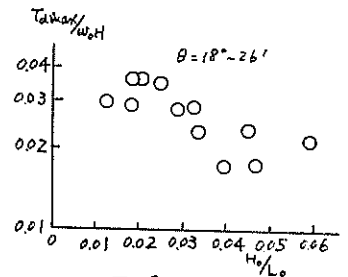


図-8(c)

一方はいり下りについて見ると上記のような明確な判別はできない。(四-8) の実験では  $\theta < 45^\circ$  についてであり、はいり下りの場合は波が最終打上げ後に遠く後斜面に沿って流下する。したがってせん断力は流下速度の影響を大きく受けるのに対し、はいり上りは流下速度の影響よりむしろ巨港波特性の変化の影響を受けるものである。上記のようにはいり上りとはいり下りとでは斜面上に及ぼす作用現象が異なることがわかる。したがって斜面上の構造物の安定性諸現象の解析についてははいり上りとはいり下りとではその取扱いに注意を向けなければならない。

はいり上りとはいり下りに与るせん断力の違いは、こう配が緩やかな場合( $\cot \theta = 1.5 \sim 2.0$ )はいり上りに与るせん断力が大きく、 $\cot \theta = 1.0 \sim 1.25$ ではその差は小さくなる。かえってはいり下りの場合が小さくなるものもある。

#### 4. あとがき

さらに多くのこう配に与る実験も必要と考へられるが、崩上高々斜面上の水粒子速度とせん断力の関係などについても考察を進め、斜面の安定性斜面上の構造物の安定性についても検討して行きたい。現在ある粗面壁などについてもせん断力の測定を行い、検討中である。